



بکارگیری روش رادار نفوذی به زمین جهت مطالعات ژئوتکنیکی بنای تاریخی

سی و سه پل اصفهان

رضا احمدی^{۱*}، نادر فتحیانپور^۲

دریافت مقاله: ۹۴/۰۷/۲۷
پذیرش مقاله: ۹۵/۰۷/۱۱

چکیده

در پژوهش حاضر از روش غیرمخرب رادار نفوذی به زمین (GPR) بهمنظور شناسایی وضعیت مصالح بکاررفته و ناپیوستگی‌های ساختاری بنای تاریخی سی و سه پل اصفهان استفاده شده است. برای این منظور ابتدا با استفاده از یک الگوریتم تفاضل محدود دوبعدی بهبود یافته، پاسخ GPR مدل‌های مصنوعی متناظر با ساختارهای ژئوتکنیکی متناول همانند زمین لایه‌ای، استوانه افقی و منشور دوبعدی شبیه‌سازی شد. سپس با استفاده از یک سیستم GPR مجهری به آتن‌های پوشش دار با فرکانس مرکزی ۵۰۰ مگاهرتز، تعداد ۴۶ پروفیل GPR شامل ۳۶ پروفیل عرضی در راستای شرقی-غربی عمود بر امتداد پل، ۷ پروفیل طولی در عرضه پل در راستای شمالی-جنوبی به موازات امتداد پل و ۳ پروفیل عرضی از پایه‌های پل برداشت شد. پردازش و تفسیر نگاشتهای راداری نشان می‌دهد که در مقاطع طولی و عرضی، اشیاء و مصالح مختلف عمدتاً شامل تیرآهن و میلگرد تقویتی، بلوک‌های سنگی، الوارهای چوبی و نیز ناپیوستگی و نشست، در جای جای پل قابل مشاهده است که اسلوبهای بتقی تقویت شده با تیرآهن و میلگرد، عمدتاً مربوط به مرمت‌های جدید پل بوده و بخش‌های تقویت شده با بلوک‌های سنگی و الوارهای چوبی، اکثرآ قدیمی است که متحمل نشست و شکستگی‌های متعددی گردیده‌اند.

کلید واژه‌ها: رادار نفوذی به زمین (GPR)، مدل‌سازی عددی، اهداف ژئوتکنیکی، سی و سه پل اصفهان، ناپیوستگی، پروفیل

۱. استادیار مهندسی معدن، دانشگاه صنعتی اراک R_ahmadi@arakut.ac.ir

۲. دانشیار دانشکده مهندسی معدن، دانشگاه صنعتی اصفهان

* مسئول مکاتبات

عنوان یک روش آزمون غیرمخرب، از قابلیت اعتماد و کارآیی بالایی برخوردار است.

مدت زمانی است که GPR به عنوان یک روش ارزیابی و نظارتی مدنظر قرار گرفته: (Clemena, 1991; Bungey et al., 1991; Giannopoulos, 2005; Lai and Tsang, 2006; احمدی و همکاران، ۱۳۹۱) و در طی سال‌ها برای مطالعه ساختمان‌ها و پل‌ها (Heiler et al., 1995; Lorenzo et al., 2000; Annan et al., 2002; Ranalli et al., 2004; Lorenzo et al., 2010; Solla et al., 2011; Zhang et al., 2012; Solla et al., 2012; جاده‌ها و بزرگراه‌ها (Davis et al., 1994; Jack and Jackson, 2000; Benedetto and 1999; Saarenketo and Scuillion, 2001, 2002; Loken, 2005 Gobel et al. 1994; Huston et al., 2000; Manacorda et al., 2002; Geraads et al., 2002; احمدی و همکاران، ۱۳۹۳) و ساختارهای گوناگون دیگر همانند لوله‌های فاضلاب و انواع لوله‌های تاسیساتی دیگر (احمدی و همکاران، ۱۳۹۱)، مورد استفاده قرار گرفته است.

یکی از جذاب‌ترین کاربردهای GPR، مطالعات میراث فرهنگی و بنای‌های تاریخی به منظور انجام مرمت‌ها و بازسازی‌های دوره‌ای مورد نیاز و نگهداری آنها می‌باشد. معمولاً بنای‌های تاریخی مطابق شکل ۱، ترکیب نسبتاً پیچیده‌ای از انواع مصالح مختلف شامل سنگ‌ها، خشت‌ها، آجرها و نیز سازه‌های چوبی و فلزی عمدتاً واقع در درون پی‌ها، دیوارها، ستون‌ها و فضاهای خالی، به عنوان رابط می‌باشد. شناخت نوع مصالح و جزئیات درونی بنای‌های تاریخی، نوع فونداسیون، تعیین ضخامت کف‌پوش‌ها و پی‌ها، شناسایی موقعیت گسیختگی‌ها و شکستگی‌ها، وضعیت نشت‌ها و به‌هم‌ریختگی‌ها، اطلاعات بسیار سودمندی برای استحکام بخشیدن به بنا و کلید بازسازی و نگهداری آنهاست. بنابراین هدف از مطالعه حاضر شناسایی وضعیت مصالح بکاررفته و تعیین محل ناهمگنی‌ها و ناپیوستگی‌های ساختاری (نوایی دارای شکستگی و گسیختگی)، منافذ و فضاهای خالی احتمالی و تعیین وضعیت نشت در سازه تاریخی سی‌وسه‌پل

۱. مقدمه

از جمله اهداف و مسائل زمین‌شناسی مهندسی، ارزیابی‌های غیرمخرب (NDE: Non-Destructive Evaluating) ساختارها همانند ساختگاه سازه‌های بزرگ، به منظور رفع نواقص و استحکام‌بخشی آنها و نیز انجام مطالعات دوره‌ای بنها، اماکن تاریخی و آثار باستانی، به منظور مرمت، بازسازی و نگهداری آنهاست. بدیهی است که این ارزیابی‌ها بایستی بر پایه یک معیار مهندسی قابل قبول، استوار باشند. بکارگیری هر یک از سیستم‌های بازرسی، متحمل مقداری هزینه است اما یکی از فواید بدیهی و روشن بکارگیری صحیح آزمون‌های غیرمخرب، شناسایی نواقصی است که اگر در محیط، ناشناخته باقی بمانند، موجب بروز حوادث و در نتیجه وارد آمدن خسارت‌های مالی و جانی فراوان خواهد شد.

در عمل آزمون‌های غیرمخرب بسته به هدف و نوع کاربرد، به روش‌های مختلفی انجام می‌شوند. روش ژئوفیزیکی رادار نفوذی به زمین (GPR: Ground-Penetrating Radar) که قابلیت ارائه تصاویر زیرسطحی با تفکیک‌پذیری بالا از محیط‌های دیکتریک کم اتلاف را دارد، دارای طیف وسیعی از کاربردها در بسیاری از زمینه‌های مهندسی ازجمله در زمینه‌های معدن‌کاری، ژئوتکنیک و شناسایی ساختار، تصویر کردن آب‌های زیرزمینی، باستان‌شناسی، امور جنابی، قضابی، قانونی و نظامی، برف و بیخ و یخ‌بندان‌شناسی، تاسیسات و مسائل زیستمحیطی می‌باشد. GPR یک روش جدید، مفید و بسیار قدرتمند برای آزمودن غیرمخرب پل‌ها، زیرسازی‌ها، کف‌پوش‌ها، جاده‌ها، خطوط راه‌آهن، بزرگراه‌ها، دیوارهای حائل و ساختمان‌ها، ستون‌ها و مصنوعات دست‌ساز بشر همانند بتن، آسفالت، میلگرد، خشت، آجر و غیره است. این روش قادر به شناسایی و به نقشه درآوردن جزئیات زیرسطحی، بدون نیاز به مغزه‌گیری یا ایجاد تخریب و تغییر در محیط بوده و نتایج برداشت، به آسانی به صورت تصاویر دو بعدی و سه بعدی ارائه می‌شوند. امروزه روش GPR به علت سرعت عمل بالا، هزینه نسبتاً پایین و نتایج مطلوب، به-

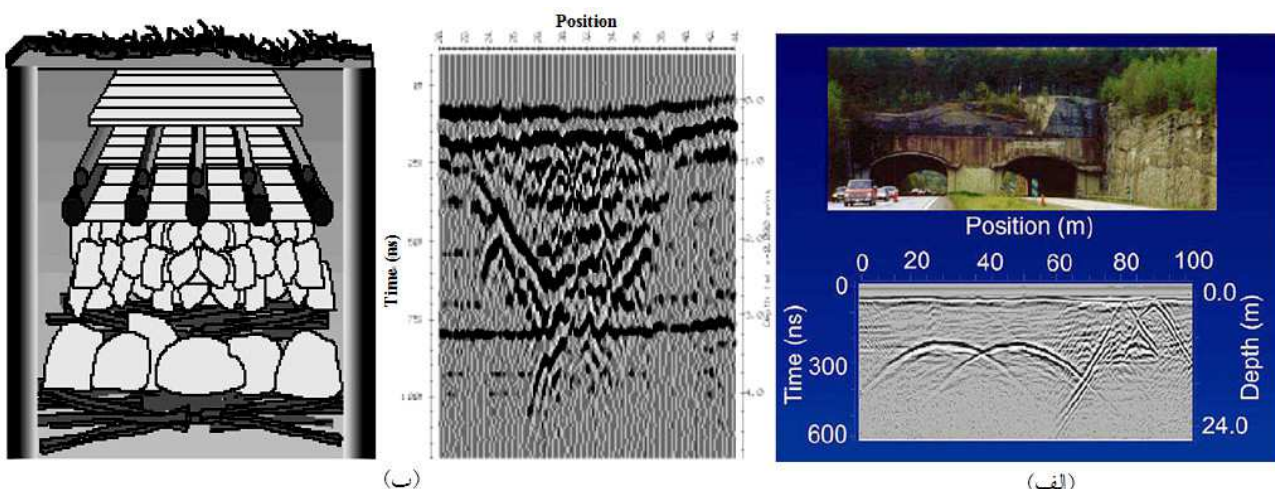
پروفیلی داده‌های GPR، مجموعه‌ای از تریس‌ها در کنار یکدیگر بوده که نگاشت راداری (Radargram) نام دارد (شکل ۲). در روش GPR نتایج برداشت، به آسانی به صورت تصاویر دوبعدی و سه بعدی ارائه می‌شوند و رخداد حاصل در تصویر دوبعدی نیز برای اغلب اهداف مدفون، به صورت هذلولی است (شکل ۲). جهت آشکارسازی فرض می‌شود که دامنه سیگنال‌های بازتابی از ناهمنگنی‌های زیرسطحی، بزرگ‌تر از سیگنال‌های زمینه می‌باشند. پلاریته سیگنال GPR نیز که براساس علامت ولتاژ نیم سیکل اول تعریف می‌شود، با طبیعت تغییر در ویژگی‌های الکتریکی (به‌ویژه ϵ ، کترول شده و در تفسیر داده‌ها بسیار مفید است (Ahmadi et al., 2015).

میزان فرکانس مرکزی سیستم رادار، تاثیر مهمی روی میزان عمق نفوذ آن دارد. هرچه میزان فرکانس مرکزی کاهش یابد، تضعیف سیگنال در محیط، کم شده و درنتیجه عمق نفوذ سیستم، افزایش می‌یابد. از طرف دیگر با افزایش فرکانس مرکزی، میزان تفکیک‌پذیری (Resolution) رادار، افزایش می‌یابد. بنابراین انتخاب فرکانس مرکزی سیستم رادار، همواره بر اساس ایجاد تعادل بین میزان عمق نفوذ سیستم و میزان تفکیک‌پذیری صورت می‌گیرد.

اصفهان با استفاده از روش GPR بر پایه مدل‌سازی پیشرو داده‌ها با روش تفاضل محدود حوزه زمان دو بعدی بهبود یافته در حوزه فرکانس می‌باشد.

۲. مبانی فیزیکی و نظری روش GPR

یک سیستم GPR سیگنال‌های الکترومغناطیسی (EM: Electromagnetic) در محدوده فرکانسی یک مگااهرتز تا بیش از یک گیگاهرتز را از طریق فرستنده ارسال کرده و نحوه رفتار میدان EM با محیط پیرامون را از طریق گیرنده، آشکار می‌کند. شکل ۲ مفهوم عمومی چگونگی انجام این آشکارسازی را نشان می‌دهد. ویژگی‌های فیزیکی مواد که رفتار انرژی EM را در یک محیط، هدایت می‌کنند، شامل گذردهی دی‌الکتریک (Dielectric permittivity) ϵ ، گذرهای مغناطیسی (Magnetic permeability) μ و هدایت الکتریکی (Electrical conductivity) σ می‌باشند. معمولاً تغییرات نفوذپذیری مغناطیسی سنگ‌ها ضعیف بوده و بنابراین در روش GPR، در بیشتر مواقع، ϵ و σ مهم‌ترین پارامترها می‌باشند. متداول‌ترین شیوه نمایش داده‌های GPR، نمایش دامنه سیگنال امواج EM بازتابی، در مقابل زمان تاخیر است که تریس Trace نامیده می‌شود. دستاورد یک برداشت

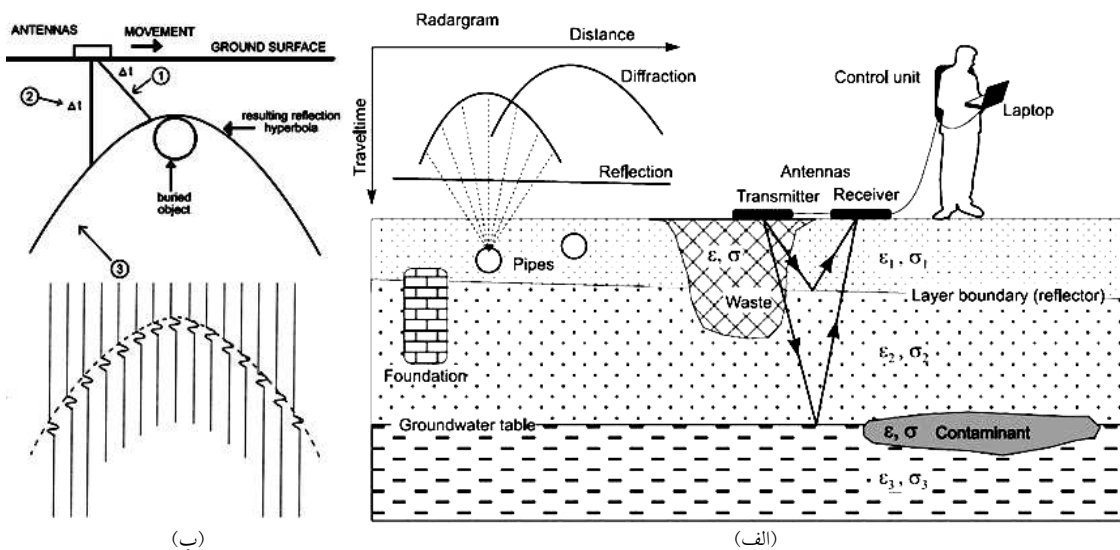


شکل ۱. شکل طرح‌وار از ساختار پل‌ها همراه با پاسخ سامانه GPR مربوطه. الف- پاسخ سامانه GPR پل در زیر شکل (Jol, 2009؛ Annan, 2001)؛ ب- پاسخ سامانه GPR زیرسازی پل در سمت راست آن.

پاسخ‌ها شده و عملیات مدل‌سازی وارون داده‌های GPR در کاربردهای عملی را فراهم نماید. برای دست‌یابی به این هدف می‌توان از روش‌های عددی مختلفی استفاده نمود که در همه آنها انتشار و بازتاب امواج GPR در درون زمین، براساس رفتار امواج EM و برهمکنش آنها با مواد زیرسطحی، شبیه‌سازی می‌شود.

۳. مدل‌سازی پیشرو داده‌های GPR به روش تفاضل محدود

پاسخ سیستم GPR برای مدل‌های مصنوعی فرضی مختلف متناظر با اهداف و ساختارهای ژئوتکنیکی واقعی باید توسط یکی از روش‌های مدل‌سازی عددی تولید شود تا این هسته مدل‌سازی پیشرو منجر به شناسایی رفتار مدل‌های مختلف در



شکل ۲. الف- اصول روش GPR با نمایش بعضی از کاربردهای آن؛ ب- برداشت داده‌های GPR روی یک هدف مدفون (نیمه بالایی شکل) و پاسخ هذلولی شکل آن در نیمه پایینی شکل (خط چین در نگاشت راداری).

قرار گرفته و جهت مدل‌سازی پیشرو اشیاء مصنوعی فرضی متناظر با اهداف متداول در بررسی‌های ژئوتکنیکی، بهبود یافته است. تئوری پایه کدهای مدل‌سازی پیشرو GPR معادلات کرل ماکسول (قانون القای فاراده و تعمیم قانون مداری آمپر) می‌باشدند. از آنجایی که مطابق شکل ۲(الف) سیگنال تریس‌های پاسخ GPR در محدوده ناهمگنی‌های زیرسطحی یک جابجایی زمانی دارند، این ویژگی اجازه تبدیل فوریه تریس‌های زمانی دارند، این ویژگی اجازه زمین (فرستنده و گیرنده هر دو بر روی سطح زمین قرار دارند)، به روش تفاضل محدود دو بعدی حوزه زمان با فرمول‌بندی روش میدان مغناطیسی عرضی (Transverse Magnetic Field) یا مدل TM شبیه‌سازی شده است. برای این منظور روش تفاضل محدود دو بعدی ارائه شده توسط ایروینگ و نایت (Irving and Knight, 2006) مورد استفاده

روش تفاضل محدود به خاطر دارا بودن مزیت‌هایی همانند درک نسبتاً ساده مفاهیم آن، انعطاف‌پذیری، قابلیت شبیه‌سازی و مدل‌سازی محیط‌های پیچیده و قابل قبول بودن پاسخ‌های آن در موارد بکار رفته، در میان روش‌های عددی مختلف، مورد توجه بیشتری قرار گرفته و کاربرد بیشتری دارد (Sadiku, 2001). برای مدل‌سازی پیشرو دو بعدی داده‌های GPR در مطالعه حاضر، بازتاب امواج GPR ارسالی از سطح زمین (فرستنده و گیرنده هر دو بر روی سطح زمین قرار دارند)، به روش تفاضل محدود دو بعدی حوزه زمان با فرمول‌بندی روش میدان مغناطیسی عرضی (Transverse Magnetic Field) یا مدل TM شبیه‌سازی شده است. برای این منظور روش تفاضل محدود دو بعدی ارائه شده توسط ایروینگ و نایت (Irving and Knight, 2006) مورد استفاده

لایه‌ای) و ترکیب زمین لایه‌ای و منشور (معرف کتکت قائم به منظور شناسایی موقعیت پایه‌ها و ستون‌های واقع در درون و پی ساختارها) شبیه‌سازی شد تا از نتایج آنها برای تفسیر نگاشته‌های راداری واقعی استفاده شود.

به منظور انطباق بیشتر نتایج شبیه‌سازی با عمل، تا حد امکان متداول‌ترین مقادیر برای ویژگی‌های الکتریکی محیط‌های میزبان و اهداف واقعی، انتخاب شد. در جدول ۱ برخی از ویژگی‌های الکتریکی مواد مورد مطالعه در پژوهش حاضر از جمله گذردهی دی‌الکتریک نسبی، هدایت الکتریکی و سرعت سیر امواج (نوعاً در محدوده فرکانسی ۱۰ تا ۱۰۰۰ مگاهرتز) آورده شده است.

۴-۱. شبیه‌سازی پاسخ GPR مدل زمین لایه‌ای

در عمل شبیه‌سازی پاسخ GPR مدل زمین لایه‌ای دارای کاربردهای زیادی می‌باشد. از جمله این کاربردها تعیین ضخامت اسلوب‌های بتنی، آسفالت جاده‌ها و لایه‌های سطحی برای مقاصد زمین‌شناسی مهندسی و ژئوتکنیک، آشکارسازی عمق سطح سفره‌های آب زیرزمینی و تعیین ضخامت لایه‌های آب‌دار (حاوی آب شیرین) و آشکارسازی چینه‌های زمین‌شناسی است. بنابراین در زیربخش‌های بعدی تاثیر مهم‌ترین عوامل موثر بر روی پاسخ GPR مدل زمین لایه‌ای مورد بررسی قرار می‌گیرد.

۴-۱-۱. بررسی تاثیر ضخامت لایه‌های مدل زمین لایه‌ای

در ردیف پایین شکل ۳ مدل‌های هندسی و فیزیکی و در ردیف بالای این شکل، پاسخ GPR سه مدل زمین سه لایه‌ای EM نشان داده شده است. میزان فرکانس مرکزی موج ارسالی، ۲۵۰ مگاهرتز بوده و هدف، کترول صحت پاسخ GPR برای تعیین کف و ضخامت لایه‌های یک زمین سه لایه‌ای است که در آن لایه رویی از جنس بتن، لایه میانی از جنس خاک ماسه‌ای مروط و لایه زیرین از جنس خاک ماسه‌ای اشباع از آب می‌باشد. ابعاد مدل 6×4 متر بوده و ضخامت لایه بتنی در هر سه مورد برابر با یک متر است.

$$f(t - t_0) \xleftrightarrow{\mathcal{F}} e^{-i\omega t_0} F(\omega) \quad (1)$$

که در این رابطه t و t_0 زمان، $\omega = \sqrt{-1}$ فرکانس زاویه‌ای و \mathcal{F} علامت تبدیل فوریه است.

در این روش ابتدا بیشترین مقدار دامنه هر تریس به عنوان شروع سیگنال بازتابی اول، برای تمام تریس‌ها شناسایی شده سپس اختلاف زمانی بین سیگنال بازتابی اول در هر دو تریس متوالی، تعیین گردیده و به صورت جابجایی زمانی در فواصل مکانی بین هر دو تریس متوالی ذخیره می‌گردد. بعد با استفاده از تبدیل فوریه هر دو تریس مجاور و داشتن این میزان جابجایی زمانی، با استفاده از درون‌یابی در فاصله بین هر دو تریس متوالی و ایجاد دامنه‌های پاسخ‌های بازتابی مقادیر تریس‌های تخمینی، به تعداد دلخواه، تریس مصنوعی محاسبه می‌شود. از آنجایی که پاسخ GPR اغلب اهداف مدفون مطابق شکل ۲ به صورت هذلولی است، بنابراین برای درون‌یابی بین دو تریس مجاور، به منظور حفظ شکل منحنی‌وار، از درون‌یابی یک بعدی معکوس (Cubic) استفاده شده است. این محاسبات در مدت زمان بسیار کوتاهی انجام شده و نتیجه آن بهبود کیفی و بصری پیوستگی تریس‌ها در پاسخ نهایی مقطع GPR و تولید پاسخ با تفکیک‌پذیری بالا می‌باشد.

۴. مدل‌سازی پاسخ GPR اشیاء مصنوعی

هدف از پژوهش حاضر مطالعات ژئوتکنیکی بنای تاریخی و ارزشمند سی و سه پل اصفهان با روش GPR می‌باشد. برای این منظور با استفاده از برنامه مدل‌سازی عددی پیشرو بهبود یافته در محیط نرم‌افزار MATLAB، پاسخ GPR با تفکیک‌پذیری زیاد برای مدل‌های مصنوعی فرضی منتظر با اهداف ژئوتکنیکی متداول در بررسی‌های NDE، همانند استوانه افقی (معرف انواع میله‌ها، مفتول‌ها و میلگرد‌های فولادی جاسازی شده درون بتن، انواع لوله‌ها با جنس‌های مختلف و ساختارهای استوانه‌ای شکل)، منشور (Prism) دو بعدی (معرف انواع فضاهای خالی به شکل منشور در مقطع دو بعدی)، زمین لایه‌ای (معرف اسلوب بتنی، آسفالت و لایه‌های خاک، سنگ و انواع مصالح ساختمانی به صورت

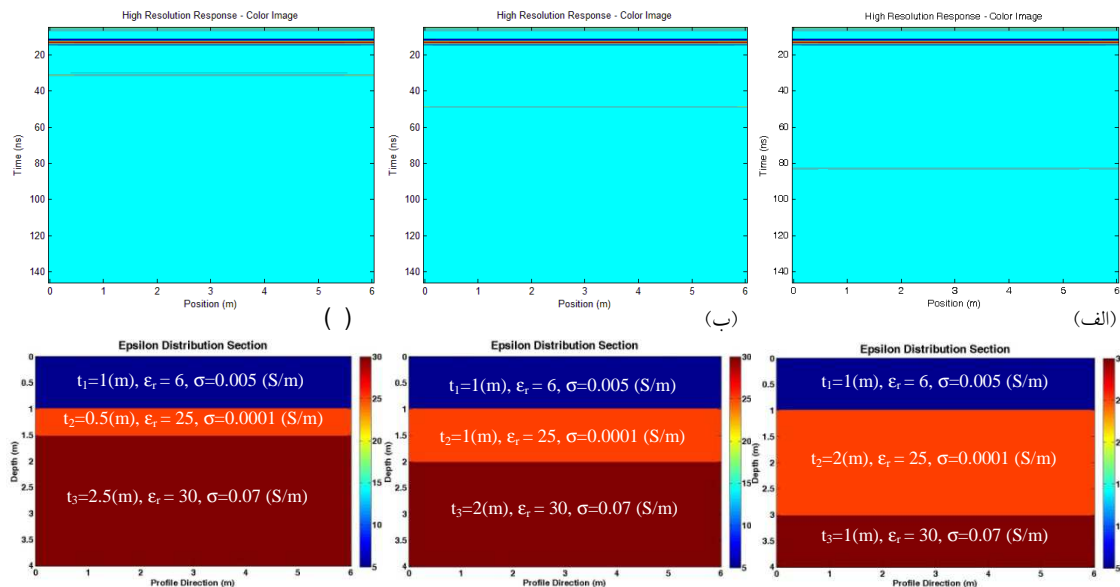
ضخامت لایه‌های دوم و سوم نیز متناسب با ضخامت آنها در مدل‌های هندسی و فیزیکی می‌باشند. نتایج این شبیه‌سازی‌ها در عمل برای تعیین کف و ضخامت لایه‌های بتن، آسفالت و غیره با استفاده از سیستم‌های GPR مفید خواهد بود.

نتایج شبیه‌سازی نشان می‌دهد که پاسخ شبیه‌سازی GPR مرزهای مشترک افقی لایه‌ها، مطابق انتظار به صورت رخدادهای خطی افقی است (به طورکلی پاسخ GPR هر ناهمگنی افقی به صورت یک رخداد خطی افقی است) و ضخامت لایه رویی (بتن) در هر سه پاسخ، برابر بوده و

جدول ۱. برخی از ویژگی‌های الکتروکتریکی مواد مورد مطالعه

(Davis and Annan, 1989; Zeng and McMechan, 1997; Ahmadi et al., 2015)

سرعت موج الکترومغناطیسی (متر بر نانوثانیه)	هدایت الکتریکی (میلی‌زیمنس بر متر)	گذردگی دی‌الکتریک نسبی	ماده (محیط)
۰/۳	.	۱	هوای
۰/۱۲-۰/۱۷	۰/۰۱	۳-۶	آسفالت
۰/۰۸۷-۰/۱	۵	۶-۱۲	بتن
۰/۰۱۷	۱۰ ^۴ -۱۰ ^۷	۱۰۰-۳۰۰	فلز
۰/۱۲	۷/۶۷	۶	خاک رس سیلتی
۰/۰۷	۱۰	۱۹	خاک رس مرطوب
۰/۱۲	۰/۰۵-۲	۴-۸	سنگ آهک
۰/۱۵	۰/۰۱	۳-۵	ماسه خشک
۰/۰۶	۰/۱-۱	۲۰-۳۰	ماسه اشیاع شده
۰/۰۳۳	۰/۵	۸۰	آب شیرین



شکل ۳. تاثیر ضخامت لایه‌ها بر پاسخ GPR مدل زمین سه‌لایه‌ای با ثابت ماندن دیگر شرایط. الف- $t_1=1$, $t_2=0.5$, $t_3=2.5$. ب- $t_1=1$, $t_2=2$, $t_3=1$. ج- $t_1=1$, $t_2=1$, $t_3=2$. د- $t_1=1$, $t_2=2$, $t_3=1$. ه- $t_1=1$, $t_2=1$, $t_3=1$. ز- $t_1=1$, $t_2=2$, $t_3=1$. (ضخامت لایه بر حسب متر می‌باشد).

یکی از اهداف اصلی بررسی‌های ژئوتکنیکی غیرمخرب اغلب ساختارها به ویژه از نوع بتنی با استفاده از روش GPR، آشکارسازی حفرات و فضاهای خالی موجود در ساختار و شناسایی میله‌ها و میلگردهای فولادی جاسازی شده درون بتن است. به همین خاطر بایستی پاسخ این اهداف از طریق شبیه‌سازی مدل‌های مصنوعی، تولید شود تا نتایج آن در مسائل عملی مورد استفاده قرار گیرد. از آنجایی که فضاهای خالی ممکن است به شکل‌های مختلفی در ساختار، حضور داشته باشند، بنابراین در مدل‌سازی پیشرو، شبیه‌سازی پاسخ GPR برای مدل‌های فضای خالی با مقاطع دو بعدی به شکل دایره، مربع و مثلث (که معرف شکل فضای خالی به طور عام می‌باشد) انجام شده است. شکل ۵ (الف) مدل هندسی به - ابعاد $75/4 \times 0/4$ متر متشکل از دو محیط بتن و ماسه مرطوب را نشان می‌دهد که یکسری میلگردهای فولادی (به قطر ۴۰ میلی‌متر) درون بتن رویی (به ضخامت $0/15$ متر)، جاسازی شده و فضاهای خالی با اشکال هندسی مختلف، درون ماسه مرطوب (به ضخامت $0/6$ متر) و در زیر بتن حضور دارند. مقدار نفوذپذیری مغناطیسی محیط میزان و اهداف، برابر با نفوذپذیری مغناطیسی فضای آزاد منظور شده و گسترش طولی اهداف دو بعدی، بسیار زیاد (بی‌نهایت) در نظر گرفته شده است. میزان فرکانس مرکزی موج EM ارسالی نیز 500 مگاهرتز انتخاب شده و پیمایش GPR در راستای عمود بر امتداد محور اهداف مدفون، صورت گرفته است.

شکل ۵ (ب) نیز پاسخ GPR این مدل را نشان می‌دهد. رخداد افقی در قسمت بالای شکل (ب)، پاسخ امواج مستقیم هوا و زمین می‌باشد. همان‌گونه که از شکل (ب) مشاهده می‌شود، پاسخ GPR تمامی مدل‌ها در این مورد به صورت شبیه‌هذلولی است. البته بایستی توجه نمود که شدت بازتاب و پلاریته پاسخ‌های هذلولی شکل مربوط به مدل‌های با جنس‌ها، اندازه‌ها و اشکال مختلف، با یکدیگر متفاوت می‌باشند. به طورکلی شدت بازتاب پاسخ GPR میلگردهای فولادی از پاسخ فضاهای خالی، بیشتر بوده و پلاریته پاسخ GPR

۲-۱-۲. بررسی تاثیر تغییرات توام گذردهی دی‌الکتریک و هدایت الکتریکی مدل زمین لایه‌ای

برای این منظور پاسخ GPR برای دو مدل زمین سه‌لایه‌ای شبیه‌سازی شد. ویژگی‌های فیزیکی و هندسی مدل‌ها در ردیف پایین شکل ۴ نشان داده شده است. در مدل (الف) میزان گذردهی دی‌الکتریک لایه دوم، دو برابر مقدار لایه اول و میزان هدایت الکتریکی لایه دوم، نصف مقدار لایه اول می‌باشد و در مدل (ب) این نسبت‌ها عکس شده است. به بیان ریاضی برای مدل (الف): $\sigma_1 = 0.5\epsilon_1$, $\sigma_2 = 2\epsilon_2$ و برای مدل (ب): $\sigma_1 = 2\epsilon_1$, $\sigma_2 = 0.5\epsilon_2$. تمامی شرایط دیگر برای هر دو مدل، یکسان بوده و مقدار نفوذپذیری مغناطیسی تمام لایه‌ها در هر دو مدل، برابر با مقدار نفوذپذیری فضای آزاد است.

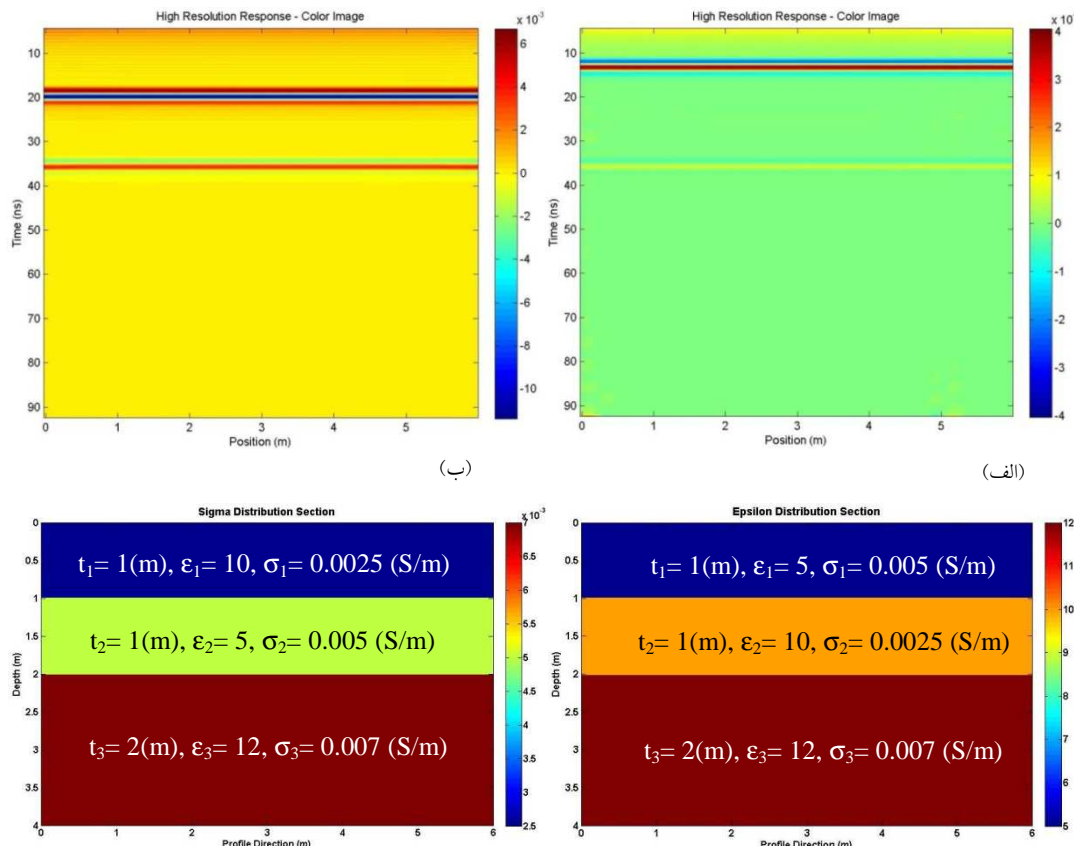
پاسخ‌های GPR حاصل از دو مدل زمین سه‌لایه‌ای در ردیف بالای شکل ۴ مشاهده می‌شود. این پاسخ‌ها مرزهای لایه‌های افقی را به صورت رخدادهای خطی افقی نشان می‌دهند. موقعیت رخداد خطی افقی اول (مربوط به مرز مشترک لایه‌های اول و دوم) در پاسخ مدل (ب) نسبت به مدل (الف) جایجا شده است که دلیل آن کمتر بودن مقدار نسبت گذردهی دی‌الکتریک لایه دوم به لایه اول در مدل (ب)، نسبت به مدل (الف) می‌باشد. به همین دلیل پلاریته سیگنال بازتابی در مورد رخداد خطی افقی اول در مدل (ب) نسبت به مدل (الف)، معکوس شده است. معکوس شدن پلاریته، با معکوس شدن ترتیب رنگی پاسخ مرز افقی اول در دو مدل، قابل مشاهده است (برای جزئیات بیشتر در مورد پلاریته به مرجع (ب) مراجعه شود).

شدت بازتابهای رخداد خطی افقی دوم (مربوط به مرز مشترک لایه‌های دوم و سوم) در مدل (الف) نسبت به مدل (ب)، ضعیفتر است که دلیل آن کمتر بودن اختلاف گذردهی دی‌الکتریک لایه‌های دوم و سوم، در مدل (الف) نسبت به مدل (ب) می‌باشد.

۲-۲. شبیه‌سازی پاسخ GPR مدل حاوی اشکال هندسی مختلف

خالی، معکوس شده است.

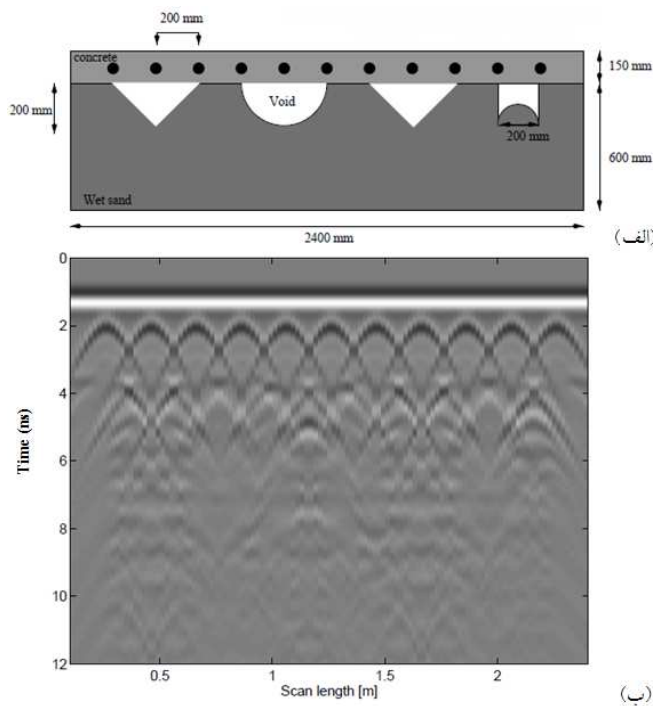
میلگردهای فولادی نسبت به پلاریته پاسخ GPR فضاهای



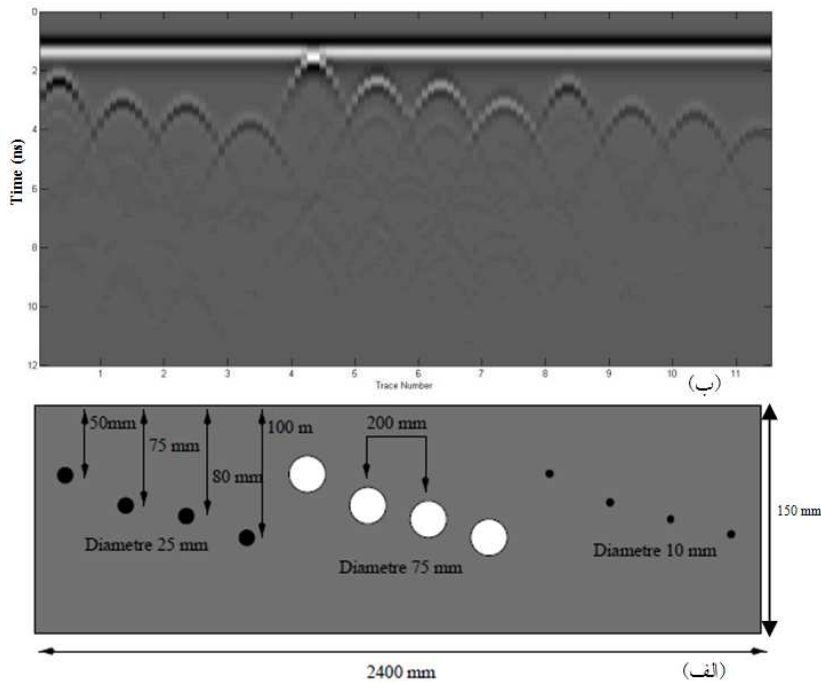
شکل ۴. تاثیر تغییرات توام گذرهای دیالکتریکی بر پاسخ GPR. برای دو مدل زمین سه‌لایه‌ای. مدل الف - $\epsilon_2 = 0.5\epsilon_1$, $\sigma_2 = 2\sigma_1$, $\sigma_2 = 0.5\sigma_1$; مدل ب - $\epsilon_2 = 2\epsilon_1$, $\sigma_2 = 2\sigma_1$, $\sigma_2 = 0.5\sigma_1$.

پاسخ GPR تمام اهداف استوانه‌ای به صورت شبه‌هذلولی است اما این شبه‌هذلولی‌ها نیز با یکدیگر تفاوت‌هایی دارند؛ به عبارت دیگر مشخصات شبه‌هذلولی پاسخ، به جنس هدف، اندازه و عمق دفن آن بستگی دارد (Ahmadi et al., 2015). به طورکلی ویژگی‌های شبه‌هذلولی‌های پاسخ ۴ استوانه توخالی (به قطر ۷/۵ سانتی‌متر) از نظر شدت بازتاب و پلاریته، با پاسخ GPR مربوط به میلگردهای فلزی (به قطرهای ۲/۵ و ۱ سانتی‌متر)، متفاوت است و این علامت مشخصه تشخیص استوانه‌های فلزی (مانند میلگردها) از سایر استوانه‌های با جنس‌های مختلف دیگر می‌باشد.

شکل ۶ (الف) مدل هندسی اسلب بتنی به ابعاد ۱۵/۰ × ۴/۰ متر شامل اهداف استوانه‌ای افقی با اندازه‌ها، جنس‌ها و موقعیت‌های مختلف و شکل ۶(ب) نیز پاسخ GPR شبیه‌سازی شده این مدل را نشان می‌دهد. مدل مزبور به منظور بررسی و مقایسه پاسخ GPR استوانه‌های افقی فلزی توپر (میلگردهای فلزی جاسازی شده درون بتن) و استوانه‌های افقی توخالی، نشان داده شده است. مقدار فرکانس مرکزی موج ارسالی ۹۰۰ مگاهرتز انتخاب شده و راستای پیمایش GPR عمود بر امتداد محور استوانه‌ها می‌باشد. در قسمت بالای شکل ۶ (ب) رخداد افقی، پاسخ امواج مستقیم هوای زمین بوده و پاسخ GPR تمامی اهداف در این مورد نیز به صورت شبه‌هذلولی است. با مشاهده شکل ۶ (ب) ملاحظه می‌شود که اگرچه



شکل ۵. الف- مدل هندسی شامل یک سری میلگردهای فولادی درون بتن و حضور فضاهای خالی با اشکال هندسی مختلف درون ماسه مرطوب در زیر بتن؛ ب- پاسخ GPR مدل.



شکل ۶. الف- مدل هندسی اسلب بتونی شامل استوانه‌های افقی فلزی توپر (میلگردهای فولادی) با اندازه‌های مختلف همراه با استوانه‌های افقی توخالی؛ ب- پاسخ GPR مدل.

سی و سه پل که یکی از شاهکارهای معماری و پل‌سازی ایران و جهان محسوب می‌شود، در سال ۱۰۱۱ هجری قمری در دوران صفویه در دوره پادشاهی شاه عباس اول، بر روی

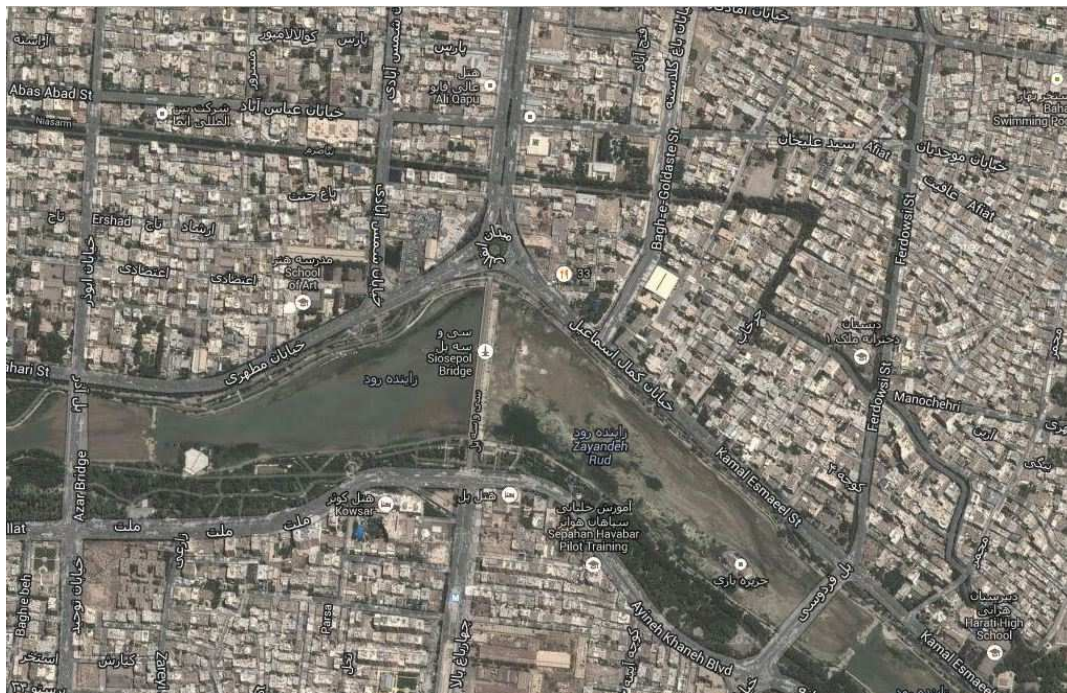
۵. ارزیابی ساختار سی و سه پل اصفهان
۵-۱. موقعیت جغرافیایی، تاریخچه و معماری سی و سه پل

در آن، مرتبط ساختن و یکپارچه کردن دو نیم جرز پل به یکدیگر و نیز تقویت بی آن، انجام تعمیرات کلی عرشه و بدنه پل، آهن‌کشی نعل درگاه راه پله در سکوی بستر رودخانه با تیرآهن شماره ۱۸ و تقویت سطح اتکای آن به وسیله ناوادانی شماره ۱۶ با دو رشته در فاصله ۴۰ سانتی‌متری، قرار دادن تیرآهن‌های دوبله شماره ۱۶ به طور عمودی و مخفی در زیر سر تیرآهن‌های نعل درگاه در طرفین راه پله، آرماتوربندی و بتون‌ریزی کف تیرآهن‌های عمودی حائل نعلی‌ها، تنگ‌گذاری دهانه مجاور راه پله قسمت غربی وسط پل، خالی کردن پشت لنگه طاق تا عمق راه‌پله و بازسازی مجدد آن به وسیله آجر و سیمان، تعویض سنگ خاقانی کمرکش قوس دهانه، تعمیرات آجرکاری‌های ملاشی شده در گوشه‌های اطراف پایه مذکور، تعمیر دهانه کوچک تعبیه شده روی پایه مجاور حوض که در نمای شرقی پل نمایان می‌باشد و تعمیرات آجرکاری سه جرز اصلی که در اثر فشار و سرایت رطوبت ناشی از سیل به صورت طبله درآمده، از جمله مهم‌ترین تعمیرات انجام شده در پل می‌باشند. به هر جهت در حال حاضر وضعیت ظاهری این پل با شکل قدیمی‌اش تفاوت چندانی نکرده است. به منظور حفظ این بنای باستانی بالارزش در حال حاضر فقط عابرین پیاده می‌توانند جهت تردد از این پل استفاده نمایند.

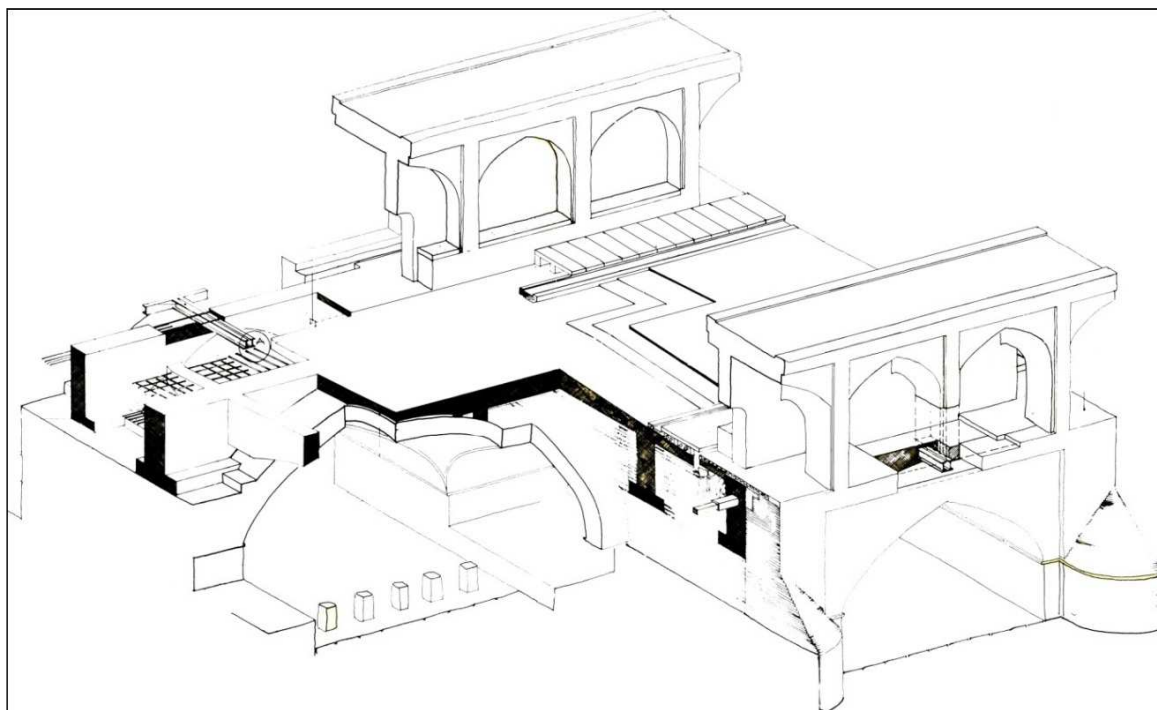
۲-۵. روش‌شناسی جهت بررسی‌های ژئوفیزیکی
به منظور تهیه طرح بهسازی، مرمت و تعمیرات لازم پل، مطالعات ژئوفیزیکی این بنا انجام شد. تا زمان انجام پژوهش حاضر بررسی‌های عمقی ژئوفیزیکی و یا ژئوتکنیکی (گمانه‌های اکتشافی) در محدوده مورد مطالعه صورت نگرفته و در نتیجه اطلاعات پایه چندانی درباره مقاطع عرضی و طولی پل وجود ندارد. به منظور بررسی وضعیت مصالح بکار رفته، گسیختگی، شکستگی و نشست در بخش‌های مختلف پل، روش ژئوفیزیکی غیرمخرب GPR به عنوان مناسب‌ترین روش تشخیص داده شد.

رودخانه زاینده‌رود در مرکز شهر اصفهان ساخته شد. شکل ۷ تصویر ماهواره‌ای بخشی از شهر اصفهان و موقعیت جغرافیایی بنای تاریخی سی‌وسه‌پل را نشان می‌دهد. این پل به نام‌های پل شاه عباسی، پل الله‌وردی‌خان، پل جلفا، پل چهل‌چشم و پل سی‌وسه‌چشم نیز معروف است. گفتنی است که سی‌وسه‌پل در ابتدا دارای ۴۰ دهانه (چشم) بوده که ۷ دهانه آن بسته شده و در حال حاضر دارای سی و سه دهانه می‌باشد. این پل با ۲۹۵ متر طول و ۱۳/۵ متر عرض، طویل‌ترین پل زاینده‌رود بوده و چهارباغ عباسی را به چهارباغ بالا وصل می‌کند؛ یعنی در واقع شمال و جنوب شهر اصفهان را از طریق محور چهارباغ به هم متصل می‌کند. شالوده این بنای تاریخی غالباً تا ارتفاع پای طاق‌ها، با سنگ لاشه و آهک (ملات ساروج) ریخته شده و با آجر و گچ، بالا رفته است. به طور ساده استخوان‌بندی اصلی دو طبقه پل را ترکیبی نسبتاً حجمی و پیوسته در پایین، شامل سی‌وسه چشم و طاق‌های طرفین آن، استوار بر پایه‌های بزرگ به ابعاد $۱۳/۵ \times ۱۳/۵$ متر (عرض پل) تشكیل می‌دهد. در وسط هر یک از پایه‌ها دهانه‌ای به عرض سه متر باز شده و موج‌شکنی در طرف غرب، آن را پشتیبانی می‌کند. بر روی هر یک از دهانه‌های بزرگ زیرین، دو دهانه کوچک در بالا قرار دارد، به گونه‌ای که بر تیزه هر یک از قوس‌های زیرین، جرزی در بالا سنگینی می‌کند. حساس‌ترین بخش ساختمانی پل، طاق‌های شرقی و غربی گنبد مرکزی هر یک از چشم‌ها و مطمئن‌ترین قسمت پل، پایه‌ها و پیه‌های زیرین آن هستند. در شکل ۸ طرحی از عماری این اثر باستانی نشان داده شده است.

سی‌وسه‌پل در چندین مرحله و در دوره‌های زمانی مختلف (از جمله فروردین لغایت اسفندماه سال ۱۳۴۹، فروردین لغایت اسفندماه سال ۱۳۵۴، فروردین لغایت اسفندماه سال ۱۳۵۶ و سال‌های ۱۳۵۷ تا ۱۳۸۵) تحت مرمت و تعمیرات استحکامی متعددی قرار گرفته که منجر به تعمیرات کلی و اساسی عرشه، بدنه و پایه پل گردیده است. تقویت قسمت‌های باربر طرفین پل از طریق تعبیه ستون‌های فلزی



شکل ۷. تصویر ماهواره‌ای بخشی از شهر اصفهان و موقعیت جغرافیایی بنای تاریخی سی و سه پل.



شکل ۸. طرحی از معماری سازه سی و سه پل.

میزان گسترش جانبی و عمقی آنها تا عمق پی‌سنگ سازه سی و سه پل (حداکثر ۸ متر) و براساس برنامه‌ریزی‌های صورت گرفته در سطح محدوده مورد مطالعه، تعداد ۳۶

۱-۲-۵. سیستم برداشت و نحوه جمع‌آوری داده‌های GPR برای بررسی وضعیت استحکام و نشت در بخش‌های مختلف پل، شناسایی انواع ناپیوستگی‌های احتمالی و تعیین

(اکتشاف) حدود ۵ متر و میزان تفکیک‌پذیری حدود ۳۰ سانتی‌متر می‌باشد (Annan, 2001).

۲-۲-۵ پردازش و تفسیر داده‌های GPR

به منظور پردازش، تحلیل و تفسیر داده‌ها، از نرم‌افزارهای Radexplorer و Ground Vision استفاده شد. نرم‌افزار اول برای نمایش نگاشتهای راداری و نرم‌افزار دوم برای انجام تصحیحات و پردازش‌های موردنیاز بکار می‌رود. مهم‌ترین عملیات‌های پیش‌پردازش و پردازشی اعمال شده بر روی داده‌ها جهت ارائه مقاطع نهایی، شامل تصحیح زمان صفر (Time zero correction)، فیلترینگ دی واو (Dewow) یا حذف روند فرکانس خیلی پایین از داده‌ها، حذف شیفت جریان مستقیم (DC shift removal)، فیلترهای میان‌گذر (Band pass) از جمله باترورث (Butterworth)، حذف متوسط (Background mean)، حذف زمینه (Subtract mean)، حذف removal و انواع تقویت (Gain) دامنه امواج بازتابی با عمق می‌باشد.

تفسیر نتایج پردازش داده‌ها به ترتیب برای مقاطع منطبق بر پروفیل‌های عرضی برداشت شده در دهانه‌های مختلف، پروفیل‌های طولی عرضه پل و پروفیل‌های عرضی از پایه‌های پل، ارائه شده است. در کلیه مقاطع بیضی‌های مشکی رنگ، موقعیت مکانی ناهمگنی‌های زیرسطحی را نشان می‌دهند. در تفسیرهای ارائه شده برای پروفیل‌ها، عوامل با اهمیت (در صورت وجود) به ترتیب شامل موقعیت میلگردها و تیرآهن‌ها در مقطع، موقعیت بخش‌های دارای شکستگی و گسیختگی، موقعیت حفرات و فضاهای خالی، موقعیت نشت‌های احتمالی و موقعیت انحنای طاق‌های گنبدهای شکل می‌باشد.

شکل ۹ موقعیت انواع ابزارهای استحکامی شامل تیرآهن‌ها، میلگردهای مشبك فولادی، الوارهای چوبی، بلوک‌های بزرگ سنگی و انواع ناپیوستگی‌ها را در مقاطع عرضی GPR در عرضه سی‌وسه‌پل نشان می‌دهد. در این شکل به منظور مشاهده بخش‌های مهم‌تر و جزئیات بیشتر، فقط بخشی از مقاطع GPR منطبق بر پروفیل‌های مختلف، نشان داده شده است. مطابق شکل ۹ از فاصله حدود پنج متری ابتدای پروفیل‌ها، بخش آسفالت ماشین رو عرضه پل، شروع شده که تا عمق ۲۵ سانتی‌متری شامل زیرسازی کمپکت (Compact

پروفیل عرضی در عرضه پل در امتداد شرقی- غربی در راستای عمود بر امتداد پل، ۷ پروفیل طولی در عرضه پل در راستای شمالی- جنوبی به موازات امتداد پل و ۳ پروفیل عرضی از پایه‌های پل، یعنی در مجموع تعداد ۴۶ پروفیل با طول کمینه و بیشینه به ترتیب برابر با ۷ و ۲۹۶ متر، طراحی و برداشت شد. میزان سرعت سیر امواج EM در محیط نیز براساس جنس کلی مصالح تشکیل دهنده پل به طور متوسط ۰/۱ m/ns منظور گردید.

هدف از برداشت پروفیل‌های عرضی در عرضه پل، بررسی وضعیت هر دهانه پل به طور مجزا بوده است. مقصود از برداشت پروفیل‌های طولی در عرضه پل، شناسایی ناهمگنی‌های سطحی (شکستگی‌ها، گسیختگی‌ها، نشت‌های و حفرات) در فواصل مابین دهانه‌های پل بوده که قبلاً توسط پروفیل‌های عرضی برداشت شده‌اند و پروفیل‌های عرضی از پایه‌های پل، جهت ارزیابی ضخامت پی‌سنگ زیر پل، برداشت شدند.

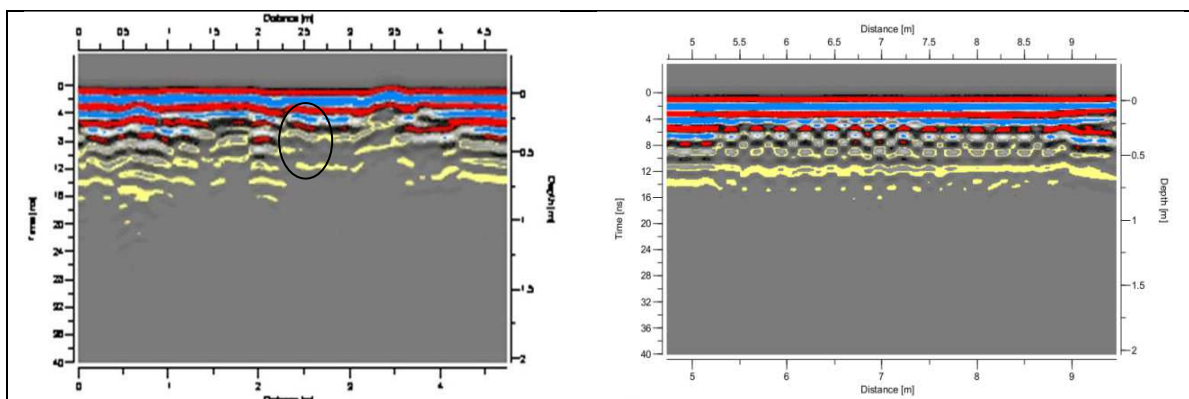
دست‌کم یک پروفیل عرضی منطبق بر هر دهانه عرضه پل برداشت شد به گونه‌ای که دو پروفیل نخست منطبق بر دهانه اول یعنی شمالی‌ترین دهانه پل (سمت میدان انقلاب) بوده و به همین ترتیب از هر دهانه پل یک پروفیل برداشت گردید تا در نهایت پروفیل ۳۶ از دهانه ۳۶ یعنی جنوبی‌ترین دهانه پل (سمت خیابان چهارباغ بالا) برداشت شد. گفتنی است که از دهانه شماره ۱۷ به دلیل کور بودن دیواره شرقی، هیچ برداشتی صورت نگرفت. طول پروفیل‌های عرضی برداشت شده به طور متوسط حدود ۱۴ متر است به گونه‌ای که سعی شده در دهانه‌های باز پل، تا منتهی‌الیه شرقی- غربی گسترش یابند و فواصل بین آنها نیز حدود ۹ متر می‌باشد.

عملیات برداشت GPR در محدوده مورد مطالعه، با استفاده از یک سیستم GPR مجهر به آنتن‌های پوشش‌دار (Shielded) با فرکانس مرکزی ۵۰۰ مگاهرتز، به روش پروفیل‌زنی بازتابی فاصله ثابت تک‌حالته انجام شد. در حالت ایده‌آل سیستم GPR مجهر به آنتن با فرکانس مرکزی ۵۰۰ مگاهرتز، دارای تفکیک‌پذیری حدود ۱۰ سانتی‌متر و بیشترین میزان عمق نفوذ حدود ۱۰ متر است (WWW.Malags.com) و در مورد محیط‌های زمین‌شناسی متداول، دارای بیشترین عمق تجسس

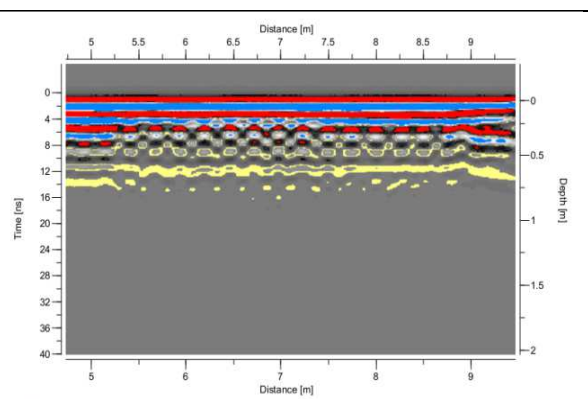
می‌توان چنین نتیجه‌گیری نمود که در مقاطع عرضی، اشیاء و مفتول‌های متنوعی در جای‌جای پل تعییه شده است که اسلب‌های بتونی تقویت شده با تیرآهن و میلگرد، عمدتاً مربوط به مرمت‌های جدید پل توسط سازمان میراث فرهنگی بوده و بخش‌های تقویت شده با بلوک‌های سنگی و الواهای چوبی، اکثراً قدیمی بوده و متحمل نشست و شکستگی‌های متعددی گردیده‌اند.

شده با روکش آسفالت بوده و در زیر آن تا عمق حدود نیم‌متری، اسلب‌های بتونی توسط تیرآهن‌ها و میلگردهای مشبك نصب شده، تقویت گردیده است. همان‌گونه که از مقاطع این شکل مشاهده می‌شود، ضخامت کل عرشه پل، حداقل ۷۵ سانتی‌متر برآورد می‌گردد که در بخش‌های زیرین نیز آثار احتمالاً بلوک‌بندی (سنگ‌چینی و یا داربست چوبی)، قابل مشاهده است.

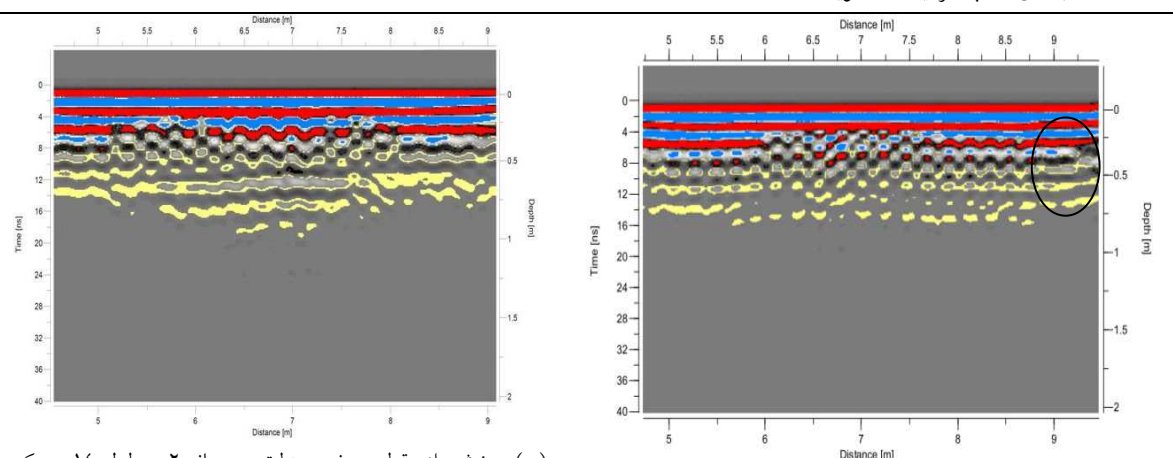
با بررسی و تفسیر نگاشت‌های راداری پروفیل‌های عرضی برداشت شده در عرشه سازه سی و سه پل (شکل ۹ الف تا ن)،



(الف)-بخشی از مقطع عرضی منطبق بر دهانه ۱ به طول ۱۴ متر که از شرق به غرب برداشت شده است. بیشترین ضخامت عرشه در بخش شرقی، نیم متر است که در فاصله ۲/۵ متری دارای یک شکستگی باز می‌باشد.

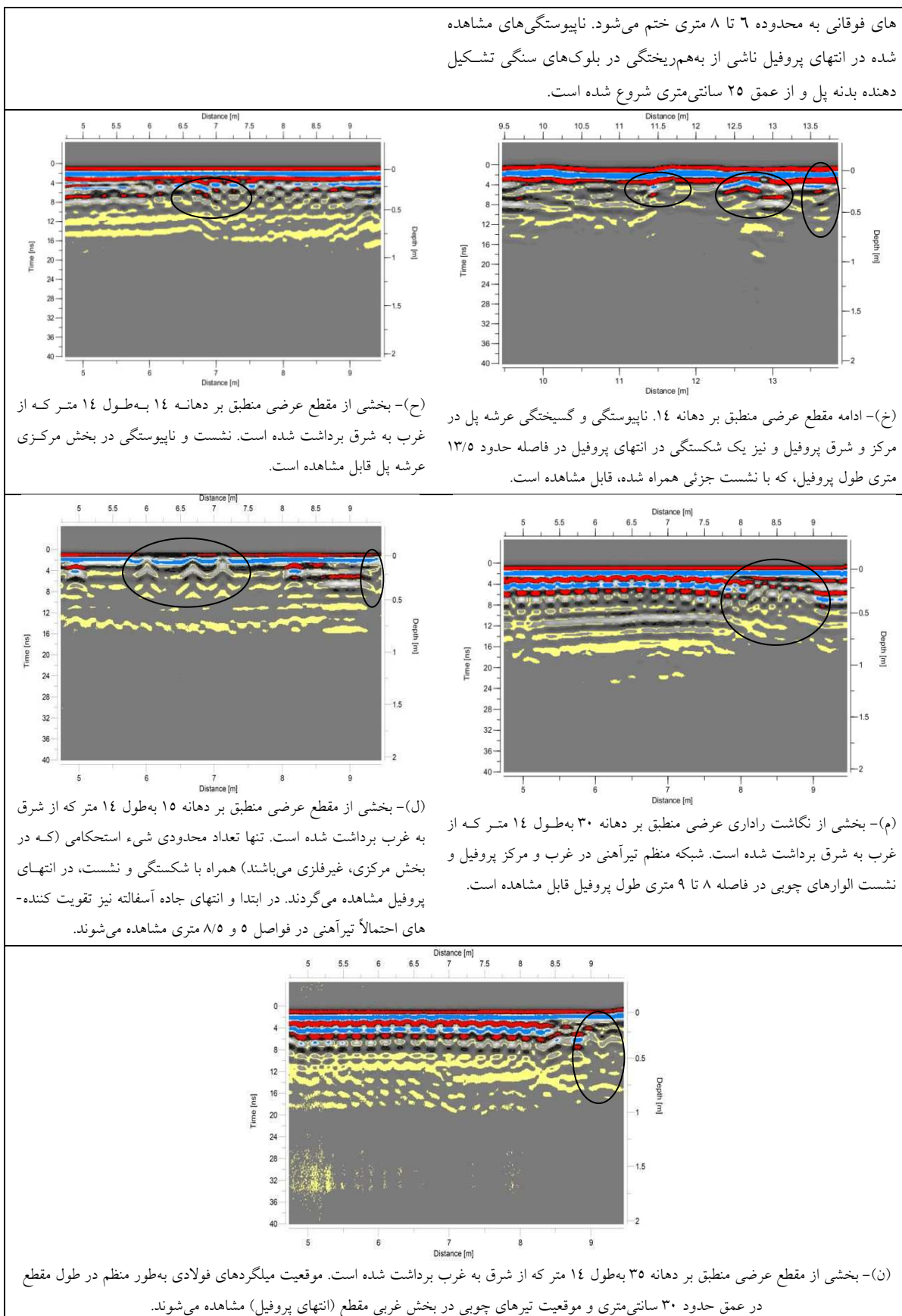


(ب)-ادامه مقطع عرضی منطبق بر دهانه ۱. از فاصله حدود ۵ متری ابتدای پروفیل بخش آسفالت ماشین رو عرشه پل شروع شده که تا عمق ۲۵ سانتی‌متری شامل زیرسازی کمپکت شده با روکش آسفالت بوده و در زیر آن تا عمق حدود نیم متری توسط میلگردهای فولادی و تیرآهن‌هایی که احتمالاً شبکه‌ای نصب گردیده‌اند، تقویت شده است.



(ج)-بخشی از مقطع عرضی منطبق بر دهانه ۲ به طول ۱۴ متر که از غرب به شرق برداشت شده است. بخش آهن‌کشی شده و تقویت شده با میلگرد محدوده آسفالت راه اصلی در حد فاصل ۵ تا ۸ متری یعنی در طول سه متر و تا عمق بیشینه نیم متری مشهود است.

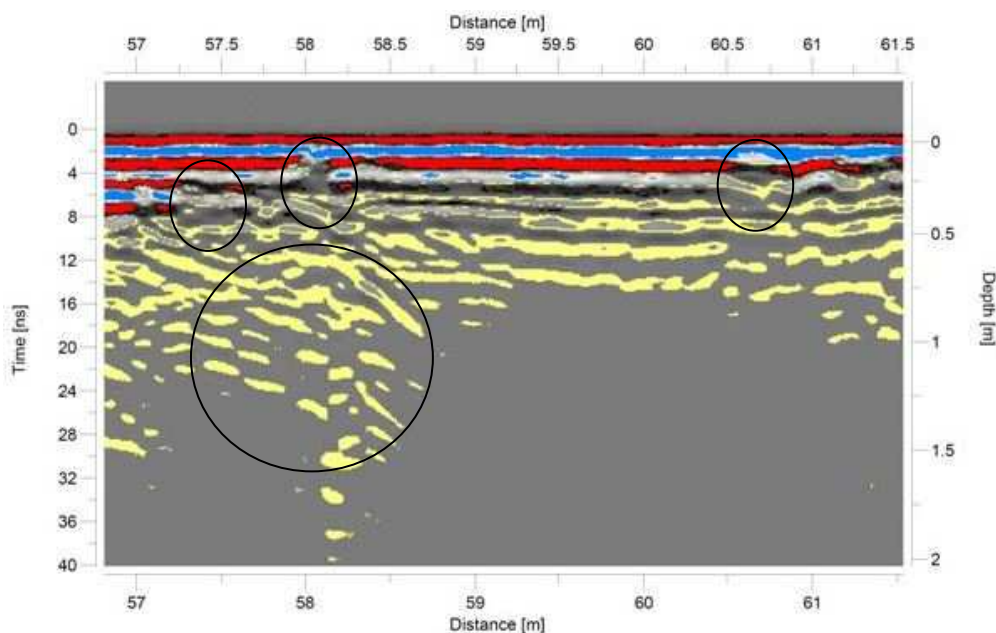
(ج)-بخشی از مقطع عرضی منطبق بر دهانه ۳ به طول ۱۴ متر که از شرق به غرب برداشت شده است. در این مقطع شبکه تقویت شده با تیرآهن به طور منظم در چند ردیف در مرکز پروفیل مشاهده می‌شود که لایه استحکامی در عمق نیم متری دارای گستردگی از ۵ تا ۹ متر و در بخش-



شکل ۹. شناسایی موقعیت انواع اشیاء استحکامی و ناپیوستگی‌ها در مقاطع عرضی GPR در عرشه سی و سه پل.

در شکل ۱۱ نیز بخشی از نگاشت راداری منطبق بر پروفیل عرضی برداشت شده از یک پایه پل در بخش شرقی پی سنگ شمالی پل (سمت میدان انقلاب) در امتداد عمود بر محور پل و به طول ۱۲ متر، نشان داده شده است. تفکیک پذیری عمقی این پروفیل تا ۵ متر بوده به گونه‌ای که بتوان عمق کف پی‌سنگ پل را شناسایی نمود. همان‌گونه که از این مقطع مشاهده می‌شود، بیشترین ضخامت پی‌سنگ پل در این بخش، حدود دو متر برآورد می‌گردد. در این پروفیل از متراز ۴ متری نقطه شروع پروفیل، قطعات بلوك‌های ضخیم سنگی مجزا، که از عمق حدود ۲۵ سانتی‌متری، شروع و تا بیشینه عمق یک متری ادامه دارند، قابل مشاهده است.

شکل ۱۰ بخشی از نگاشت راداری منطبق بر پروفیل طولی غربی پل را نشان می‌دهد. طول این پروفیل ۲۲۶/۵ متر بوده که از اولین دهانه تا آخرین دهانه و در نوار غربی بیرونی پل، برداشت شده است. ضخامت عرشه پل به طور متوسط نیم متر و ناپیوستگی‌های مشاهده شده در طول این پروفیل، مربوط به محل اتصال پایه‌ها به عرشه پل و تقویت کننده‌های تیرآهنی و در بعضی موارد گسیختگی و نشست می‌باشند. در این شکل موقعیت انحنای طاق گبدی شکل در بین ستون‌ها (در ۵۸ متری طول پروفیل)، گسیختگی‌ها، نشست‌ها و محدوده‌های (فضاهای) خالی در فواصل ۵۷/۵، ۵۸، ۶۰/۵ و ۶۰ متری طول پروفیل در عمق حدود ۲۰ سانتی‌متری قابل مشاهده است.



شکل ۱۰. بخشی از نگاشت راداری منطبق بر پروفیل طولی غربی پل.

آسیب دیدگی شده و مصالح استفاده شده در ساختار آن با چشم قابل مشاهده بود، نیز برداشت‌هایی انجام شد و نتایج آنها با دقت مورد مطالعه قرار گرفت تا در تفسیر برداشت‌های پل استفاده شود. به طورکلی روش اصولی برای کنترل و اعتبارسنجی نتایج برداشت GPR و تفسیرهای آنها، انجام عملیات حفاری تراشه یا چاهک یا گمانه است. اما از آنجایی که پیاده‌سازی چنین عملیاتی در مورد سازه‌ها و ساختارهای

افزودنی است که تفسیرهای انجام شده در پژوهش حاضر براساس نتایج شبیه‌سازی و مدل‌سازی پیشرو مدل‌های مصنوعی ایجاد شده در این مقاله و نیز آشنایی و شناخت مولفین از پاسخ GPR اهداف مختلف براساس تجربیات علمی و عملی آنها، انجام گرفته است. همچنین قبل از عملیات برداشت کامل سی و سه پل، به منظور دست‌یابی به نتایج معقول و ارائه تفسیرهای صحیح، در بخش‌هایی از پل که دچار

شامل تیرآهن و میلگرد تقویتی، بلوک‌های سنگی و الوارهای چوبی می‌باشد و نیز ناپوستگی‌ها (شکستگی) و نشت، در جای جای پل قابل مشاهده هستند و لازم است درخصوص هر یک و با تعیین دقیق محل مورد نظر، مقطع مربوطه مورد بازبینی ذره‌بینی قرار گیرد. در مجموع می‌توان چنین اظهار نظر نمود که ضخامت عرضه پل در بخش آسفالت مرکزی و به - ویژه در چهار متر وسط آن، مورد تقویت تیرآهنی قرار گرفته اما در پهلوهای غربی و شرقی پل، ترک‌ها و شکستگی‌هایی مشاهده می‌شود که به خصوص در نزدیکی محل پایه‌ها و همچنین دیوار کنارگذر پل، از شدت بیشتری برخوردار می‌باشد. بنابراین می‌توان در هر مورد دلخواه به این مقاطع مراجعه و وضعیت ناهمگنی‌های محلی را به طور ویژه ارزیابی نمود.

بررسی منابع موجود درخصوص بکارگیری تکنیک GPR در مطالعات با اهداف مهندسی متعدد و استفاده از آن در مطالعه عملی پژوهش حاضر، حاکی از توانایی و کارآیی این روش الکترومغناطیسی غیرمخرب در بازرسی ساختارها و بناهای تاریخی و باستانی بالرزش همانند سی‌وسه‌پل اصفهان می‌باشد. GPR برای این مقاصد یک روش سریع، دقیق و کم‌هزینه است. به هرجهت تجربه کاربر این روش، در پردازش داده‌ها و داشتن فهم درستی از محدودیت‌های این روش، نقش مهمی در تفسیر نتایج و اهداف پژوهه خواهد داشت.

تاریخی و باستانی همانند سی‌وسه‌پل، منطقی و معقول نمی‌باشد، بنابراین به منظور کنترل اعتبار تفسیرها، بایستی نتایج با واقعیت‌های معماری مستند پل، تطبیق داده شوند.

۶. نتیجه‌گیری

در این پژوهش با استفاده از مدل‌سازی پیشرو به روش تفاضل محدود دو بعدی بهبود یافته در حوزه فرکانس، پاسخ GPR مدل‌های مصنوعی فرضی متناظر با ساختارهای ژئوتکنیکی متداول همانند زمین لایه‌ای، استوانه افقی و منشور دو بعدی، شبیه‌سازی گردید. سپس مطالعات ژئوفیزیکی سازه سی‌وسه‌پل با روش غیرمخرب GPR و به کمک نتایج مدل‌سازی پیشرو انجام شد. نتایج شبیه‌سازی به منظور شناسایی نوع هدف زیرسطحی (مصالح بکار رفته) و نیز تعیین ضخامت و کف ساختارهای ژئوتکنیکی اسلب مانند همانند آسفالت، بتن و غیره مورد استفاده قرار گرفت.

بر اساس نتایج و اطلاعات به دست آمده از مدل‌سازی پیشرو مدل‌های مصنوعی و طراحی و برداشت تعداد ۴۶ پروفیل GPR واقعی در بخش‌های مختلف پل، ناهمگنی‌های متعددی در مقاطع طولی و عرضی پل مشاهده شد که بایستی با واقعیت‌های معماری مستند پل، تطبیق داده شوند. با توجه به تفسیرهای ارائه شده درخصوص پروفیل‌های برداشت شده براساس نتایج مدل‌سازی پیشرو و تجربیات مولفین، می‌توان چنین استنباط نمود که اشیاء و مصالح مختلفی که عمداً

منابع

- احمدی، ر، فتحیان‌پور، ن، نوروزی، غ.ح، ۱۳۹۱. آشکارسازی خطوط انتقال آب و فاضلاب مدفون و شناسایی برخی مشخصات آنها با استفاده از شبیه‌سازی پاسخ داده‌های GPR. همایش ملی علوم مهندسی آب و فاضلاب، کرمان، دانشگاه تحصیلات تکمیلی کرمان.
- احمدی، ر، فتحیان‌پور، ن، نوروزی، غ.ح، ۱۳۹۱. کاربردهای ژئوتکنیکی روش رادار نفوذی به زمین (GPR) در شناسایی پارامترهای فیزیکی و هندسی ناهمگنی‌های زیرسطحی. اولین کنفرانس مهندسی الکترومغناطیس ایران، تهران، دانشگاه علم و صنعت ایران.
- احمدی، ر، فتحیان‌پور، ن، نوروزی، غ.ح، ۱۳۹۳. شناسایی نقاط ضعف پی‌سنگ صحن بنای فرهنگی - تاریخی مسجد امام اصفهان با استفاده از روش رادار نفوذی زمین. اولین همایش ملی رادار نفوذی به زمین، کرمان، دانشگاه شهید باهنر کرمان.
- احمدی، ر، فتحیان‌پور، ن، نوروزی، غ.ح، ۱۳۹۳. کاربردهای ژئوتکنیکی رادار نفوذی به زمین در شناسایی ناهمگنی‌های زیرسطحی مسیر حفر تونل انتقال تاسیسات برقی اصفهان. اولین همایش ملی رادار نفوذی به زمین، کرمان، دانشگاه شهید باهنر کرمان.

- احمدی، ر.. ۱۳۹۳. تهیه الگوریتمی هوشمند جهت شناسایی مشخصات فیزیکی و هندسی اهداف ژئوتکنیکی با استفاده از پاسخ امواج GPR، رساله دکترای تخصصی، پردیس دانشکده‌های فنی، دانشکده مهندسی معدن، دانشگاه تهران، تهران.
- Ahmadi, R., Fathianpour, N., Norouzi, G.H., 2015. Detecting physical and geometrical parameters of some common geotechnical targets through their effects on GPR responses. *Arabian Journal of Geosciences*, 8: 4843-4854.
- Annan, A.P., 2001. Ground-penetrating radar workshop notes. Sensors and Software Inc. Mississauga, ON, Canada.
- Annan, A.P., Cosway, S.W., De Souza, T., 2002. Applications of GPR to Map Concrete to Delineate Embedded Structural Elements & Defects. Ninth International Conference on Ground Penetrating Radar, Koppenjan, S.K., Lee, H. (eds.), Proceeding of SPIE, Vo. 4758, 359-364.
- Benedetto, A., Benedetto, F., 2001. About the possibility to automate the GPR signal processing for road pavement monitoring. Proc. SIVV Conference, Verona, Italy.
- Benedetto, A., Benedetto, F., 2002. GPR Experimental Evaluation of Subgrade Soil Characteristics for Rehabilitation of Roads. Ninth International Conference on Ground Penetrating Radar, Koppenjan, S.K., Lee, H. (eds.), Proceeding of SPIE, Vo. 4758, 708-714.
- Bungey, J.H., Millard, S.G., Shaw, M.R., 1991. The use of sub-surface radar for structural assessment of insitu concrete. A.C.I., SP128/31, Vol. 2, 497-514.
- Clemena, G.G., 1991. Short pulse radar methods. Chapter 11 in *Handbook on Non-Destructive Testing of Concrete*, Malhotra, V.M. and Carino, N.J. (eds.), CRC Press, Boston, 253-274.
- Davis, J.L., Rossiter, J.R., Mesher, D.E., Dawley, C.B., 1994. Quantitative measurement of pavement structures using radar. Proceedings of fifth International Conferences on GPR, Kitchener, Ontario, Canada.
- Geraads, S., Charachon, B., Loeffler, O., Omnes, G., 2002. Applying a wavenumber notch filter to remove interferences caused by railway sleepers from a GPR section. Ninth International Conference on Ground Penetrating Radar, Koppenjan, S.K., Lee, H. (eds.), Proceedings of SPIE, Vol. 4758, 715-718.
- Giannopoulos, A., 2005. Modelling ground penetrating radar by GprMax. *Construction and Building Materials*, 19: 775-762.
- Gobel, C., Hellmann, R., Petzhold, H., 1994. Georadar model and in-situ investigations for inspection of railways tracks. Proceedings of Ground Penetrating Radar Conference, Kitchener, Canada, June 12-16.
- Heiler, M., McNeil, S., Garret, J., 1995. Ground Penetration Radar for Highway and Bridge Deck Condition Assessment and Inventory, SPIE, Vol. 2456/195.
- Huston, D., Pelczarski, N., Esser, B., 2000. Damage detection in roadways with Ground Penetrating Radar. Proc. Eighth International Conference on GPR, Gold Coasts, Australia.
- Irving, J., Knight, R., 2006. Numerical modelling of ground penetrating radar in 2-D using MATLAB. *Computers & Geosciences*, 3: 1247-1258.
- Jack, R., Jackson, P., 1999. Imaging attributes of railway track formation and ballast using ground probing radar. *NDT&E International* 32: 457-462.
- Jol, H.M., 2009. *Ground-Penetrating Radar theory and applications*. First edition, Elsevier Science, 543p.
- Karlovsek, J., Scheuermann, A., Williams, D.J., 2012. Investigation of voids and cavities in bored tunnels using GPR. 14th International Conference on Ground Penetrating Radar (GPR), proceedings. Shanghai, China., 496-501.
- Knödel, K., Lange, G., Voigt, H.J., 2007. *Environmental geology: handbook of field methods and case studies*. Google Books Result, Chapter 4, Geophysics, 1357 p.
- Lai, W.L., Tsang, W.F., 2006. Characterization of pore systems of air/water-cured concrete using ground penetrating radar (GPR) through continuous water injection. *Construction and Building Materials*, 22: 250-256.
- Loken, M., 2005. Current State of the Art and Practice of Using GPR for Minnesota Roadway Applications. Minnesota Local Road Research Board Office of Research Services.
- Lorenzo, H., Hernandez, M.C., Cuellar, V., 2000. In Situ Radar Remote Sensing Applied to the Detection of Degradation in a concrete floor. Eight International Conference on Ground Penetrating Radar, Noon, D.A., Stickley, G.F., Longstaff, D. (eds.), SPIE, Vol. 4084.

- Lorenzo, H., Rial, F.I., Novo, A.N., 2010. Evaluation of the Roman masonry arch bridge of Lugo (Spain). NDT&E International, 44 (1): 8-12.
- Manacorda, G., Morandi, D., Sarri, A., 2002. A customized GPR system for railroad tracks verification. Ninth International Conference on Ground Penetrating Radar, Koppenjan, S.K.,Lee, H. (eds.), Proceedings of SPIE, Vol. 4758, 719-722.
- Ranalli, D., Scozzafava, M., Tallini, M., 2004. Ground penetrating radar investigations for the restoration of historic buildings: the case study of the Collemaggio Basilica (L'Aquila, Italy), Journal of Cultural Heritage, 5: 91–99.
- Saarenketo, T., Scuillion, T., 2000. Road evaluation with ground penetrating radar. Journal of Applied Geophysics, 43: 119-138.
- Sadiku, M.N.O., 2001. Numerical techniques in electromagnetics, second edition, Boca Raton London New York Washington, D.C. CRC press.
- Solla, M., Lorenzo, H., Novo, A., Riveiro B., 2011. Evaluation of ancient structures by GPR (ground penetrating radar): The arch bridges of Galicia (Spain). Scientific Research and Essays. 6(8): 1877-1884.
- Solla, M., Lorenzo, H., Rial, F.I., Novo, A., 2012. Ground-penetrating radar for the structural evaluation of masonry bridges: Results and interpretational tools. Construction and Building Materials. 29: 458-465.
- WWW.Malags.com
- Xingxin, X., Qiaosong, Z., Dong, L., Jin, W., Xiangan, W., Jinyin, S., 2010. GPR detection of several common subsurface voids inside dikes and dams. Engineering Geology, 111: 31–42.
- Zhang, C., Song, M., Wang, L., 2012. Application of GPR in Hole Survey of the Subway Project in Beijing, China. Energy Procedia, 16: 702 – 706.